## ЛОКАЛИЗОВАННЫЕ ПЛАЗМОНЫ В ЗАМАГНИЧЕННОМ НАНОЦИЛИНДРЕ И СФЕРИЧЕСКОМ СЛОИСТОМ КОМПОЗИТЕ С АНИЗОТРОПНОЙ СЕРДЦЕВИНОЙ ИЛИ ОБОЛОЧКОЙ

## Кучеренко М.Г.

Центр лазерной и информационной биофизики, Оренбургский государственный университет, г. Оренбург

Проводящие частицы в электромагнитных полях оптического диапазона частот поляризуются за счет изменения плотности электронного газа металла или полупроводника. Характерные частоты локальных плазмонных колебаний зависят от структуры и формы частиц, и существенно изменяются при переходе от однородных к слоистым структурам, а также от сферической формы к цилиндрической. В постоянном магнитном поле отклик электронной плазмы металла на электромагнитное возмущение с частотой  $\omega$  становится анизотропным, а диэлектрическая проницаемость  $\varepsilon(\omega)$  плазмоподобной среды представляется тензором второго ранга  $\varepsilon(\omega) \to \vec{\varepsilon}(\omega)$  [1]. В случае однородных сферических частиц из проводящего материала с диэлектрической проницаемостью  $\vec{\varepsilon}^{(i)}(\omega | \mathbf{B})$  их дипольная динамическая поляризуемость  $\vec{\alpha}(\omega | \mathbf{B})$  в магнитном поле индукции  $\mathbf{B}$  и бездисперсионной диэлектрической среде с проницаемостью  $\varepsilon^{(e)}$ , в свою очередь, принимает следующую тензорную форму [2-3]

$$\vec{\alpha}(\omega \,|\, \mathbf{B}) = \left[\vec{\varepsilon}^{(i)}(\omega \,|\, \mathbf{B}) - \varepsilon^{(e)}\mathbf{I}\right] \left[\vec{\varepsilon}^{(i)}(\omega \,|\, \mathbf{B}) + 2\varepsilon^{(e)}\mathbf{I}\right]^{-1},\tag{1}$$

которая вытекает из векторного равенства

$$\mathbf{D}^{(i)} + 2\varepsilon^{(e)}\mathbf{E}^{(i)} = 3\varepsilon^{(e)}\mathbf{E}_0 \tag{2}$$

для векторов индукции  $\mathbf{D}^{(i)}$  и напряженности  $\mathbf{E}^{(i)}$  электрического поля внутри сферической частицы, находящейся в однородном электрическом поле [4], после замены  $\mathbf{D}^{(i)} = \vec{\varepsilon}^{(i)}(\omega)\mathbf{E}^{(i)}$ . Таким образом, анизотропная сферическая наночастица радиуса R приобретает в однородном электрическом поле  $\mathbf{E}_0$  дипольный момент  $\mathbf{P}_3(\omega) = \vec{\alpha}(\omega \,|\, \mathbf{B})\mathbf{E}_0$ , осциллирующий на частоте  $\omega$  внешнего поля

$$\mathbf{P}_{3}(\omega) = R^{3} \left[ \vec{\varepsilon}^{(i)}(\omega \mid \mathbf{B}) - \varepsilon^{(e)} \mathbf{I} \right] \left[ \vec{\varepsilon}^{(i)}(\omega \mid \mathbf{B}) + 2\varepsilon^{(e)} \mathbf{I} \right]^{-1} \mathbf{E}_{0}.$$
 (3)

Однородное поле  ${\bf E}^{(i)}$  внутри шара связано с внешним полем  ${\bf E}_0$  соотношением  ${\bf E}^{(i)}=\vec{\pmb{\beta}}_3{\bf E}_0$ , где тензор  $\vec{\pmb{\beta}}_3$  определен выражением

$$\vec{\beta}_3 = 3\varepsilon^{(e)} \left[ \vec{\varepsilon}^{(i)}(\omega \,|\, \mathbf{B}) + 2\varepsilon^{(e)} \vec{\mathbf{I}} \right]^{-1}. \tag{4}$$

Обратный тензор  $\ddot{\mathbf{T}}^{-1} = \left[ \vec{\varepsilon}^{(i)}(\boldsymbol{\omega} \,|\, \mathbf{B}) + 2 \boldsymbol{\varepsilon}^{(e)} \ddot{\mathbf{I}} \right]^{-1}$  может быть определен через невырожденный исходный тензор  $\ddot{\mathbf{T}}$  на основе тождества Кэли-Гамильтона

$$\ddot{\mathbf{T}}^{-1} = \left[ \ddot{\mathbf{T}}^2 - I_1(\ddot{\mathbf{T}})\ddot{\mathbf{T}} + I_2(\ddot{\mathbf{T}})\ddot{\mathbf{I}} \right] / I_3(\ddot{\mathbf{T}}),$$

где главные инварианты:  $I_1(\ddot{\mathbf{T}}) = \operatorname{tr} \ddot{\mathbf{T}}, \ I_2(\ddot{\mathbf{T}}) = \left[ (\operatorname{tr} \ddot{\mathbf{T}})^2 - \operatorname{tr} \ddot{\mathbf{T}}^2 \right] / 2, \ I_3(\ddot{\mathbf{T}}) = \det \ddot{\mathbf{T}}.$ 

Локальное поле диполя (3) складывается с инициирующим внешним полем, в результате чего в окрестности наночастицы появляются плазмониндуцированные эффекты поглощения света молекулами, спонтанные радиационные переходы [5] и безызлучательный перенос энергии электронного возбуждения между ними [6-7]. Магнитозависимость динамической поляризуемости  $\ddot{\alpha}(\omega | \mathbf{B})$  позволяет осуществлять полевую модуляцию оптических характеристик молекул, находящихся вблизи наночастиц.

Метод, основанный на векторном равенстве, аналогичном (2), может быть использован и для получения наведенной поляризации в анизотропном проводящем наноцилиндре. В этом случае вместо (2) получаем

$$\mathbf{D}^{(i)}(\omega) + \varepsilon^{(e)} \mathbf{E}^{(i)}(\omega) = 2\varepsilon^{(e)} \mathbf{E}_0. \tag{5}$$

Дипольный момент единицы длины цилиндра запишем по аналогии с (3) в тензорной форме

$$\mathbf{P}_{2}(\omega) = \frac{R^{2}}{2} \left[ \vec{\varepsilon}^{(i)}(\omega \mid \mathbf{B}) - \varepsilon^{(e)} \vec{\mathbf{I}} \right] \left[ \vec{\varepsilon}^{(i)}(\omega \mid \mathbf{B}) + \varepsilon^{(e)} \vec{\mathbf{I}} \right]^{-1} \mathbf{E}_{0}$$
 (6)

Однородное поле  $\mathbf{E}^{(i)} = \ddot{\beta}_2 \mathbf{E}_0$  внутри цилиндра формируется с помощью тензора  $\ddot{\beta}_2$  в виде

$$\ddot{\beta}_2 = 2\varepsilon^{(e)} \left[ \ddot{\varepsilon}^{(i)}(\omega \mid \mathbf{B}) + \varepsilon^{(e)} \ddot{\mathbf{I}} \right]^{-1}. \tag{7}$$

Потенциал  $\varphi^{(e)}(r,\theta)$  и напряженность  $\mathbf{E}^{(e)}(r,\theta)$  поля вне цилиндра с вкладом от двумерного диполя (6) при r>R определяются выражениями

$$\varphi^{(e)}(r,\theta) = -E_0 r \cos \theta + 2 \frac{\mathbf{P}_2(\omega)\mathbf{r}}{r^2} , \qquad (8)$$

$$\mathbf{E}^{(e)}(r,\theta) = \mathbf{E}_0 - \vec{\nabla} \left( \frac{R^2}{r^2} \right) \mathbf{r} \left[ \vec{\varepsilon}^{(i)}(\omega \,|\, \mathbf{B}) - \varepsilon^{(e)} \mathbf{\tilde{I}} \right] \left[ \vec{\varepsilon}^{(i)}(\omega \,|\, \mathbf{B}) + \varepsilon^{(e)} \mathbf{\tilde{I}} \right]^{-1} \mathbf{E}_0 . \tag{9}$$

В приближении холодной замагниченной плазмы тензор  $\ddot{\varepsilon}^{(i)}(\omega | \mathbf{B})$  диэлектрической проницаемости в декартовой системе координат ( $\mathbf{B} = B_z \mathbf{n}_z$ ) записывается в виде [1]

$$\vec{\varepsilon}^{(i)}(\boldsymbol{\omega} \mid \mathbf{B}) = \begin{pmatrix} \varepsilon_{\perp} & ig & 0 \\ -ig & \varepsilon_{\perp} & 0 \\ 0 & 0 & \varepsilon_{\square} \end{pmatrix}, \tag{10}$$

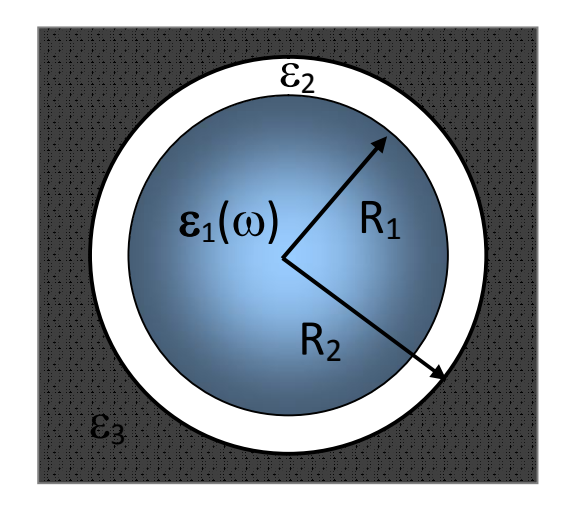
где

$$\varepsilon_{\perp}(\omega \,|\, \mathbf{B}) = 1 - \frac{\omega_p^2}{\omega^2 - \Omega_L^2}, \quad \varepsilon_{\square}(\omega) = 1 - \frac{\omega_p^2}{\omega^2}, \quad g(\omega \,|\, \mathbf{B}) = \frac{\omega_p^2 \Omega_L}{\omega(\omega^2 - \Omega_L^2)}, \tag{11}$$

$$\omega_p = \sqrt{\frac{4\pi e^2 n_e}{m}}$$
 — ленгмюровская (плазменная) частота,  $\Omega_L = \frac{e \, |\, {\bf B} \, |}{mc}$  —

ларморовская (циклотронная) частота электрона в магнитном поле индукции В.

Далее рассмотрим более сложную систему, представляющую собой сферический слоистый нанокомпозит радиуса  $R_2$  с проводящей сердцевиной радиуса  $R_1$ , приобретающей анизотропные свойства при наложении внешнего магнитного поля (рис.1). В отличие от однородного проводящего шара тензор  $\ddot{\mathbf{A}}(\boldsymbol{\omega} | \mathbf{B})$  такого нанокомпозита не может быть получен на основе простого обобщения соответствующего скалярного выражения, известного для изотропной слоистой системы [5]. Тем не менее, есть все основания полагать, что и в неоднородной структуре рис. 1 поле в сердцевине композита, т.е. при  $r < R_1$ , однородно, как и в случае безоболочечного шара. Тогда потенциал  $\Phi_1(r,\theta,\phi)$  в области  $r < R_1$ , учитывая анизотропию замагниченного металла сердцевины, может быть записан с помощью постоянного тензора  $\ddot{\mathbf{B}}(\ddot{\varepsilon}_1,\varepsilon_2,\varepsilon_3)$ , зависящего от диэлектрических проницаемостей всех трех областей:  $\Phi_1(r,\theta,\phi) = -\ddot{\mathbf{B}}(\ddot{\varepsilon}_1,\varepsilon_2,\varepsilon_3)\mathbf{E}_0\mathbf{r}$ .



**Рис. 1.** Структура концентрического двуслойного нанокомпозита с проводящей сердцевиной, помещенного в диэлектрическую среду с проницаемостью  $\varepsilon_3$ .

Напряженность  $\mathbf{E}_1$  поля в коре композита  $\mathbf{E}_1 = \ddot{\mathbf{B}}(\ddot{\varepsilon}_1, \varepsilon_2, \varepsilon_3) \mathbf{E}_0$ . Наибольший интерес для приложений представляет тензор поляризуемости

 $\ddot{\mathbf{A}}(\boldsymbol{\omega} | \mathbf{B})$  композита. Для его нахождения необходимо определить потенциалы  $\Phi_j(r,\theta,\varphi),\ j=1,2,3$  поля во всех областях, отображенных на рис. 1. Выражения для этих потенциалов могут быть записаны по аналогии с теми, которые известны для изотропной слоистой системы, с той лишь разницей, что все скалярные коэффициенты изотропного случая должны быть заменены их тензорными аналогами. Действуя таким образом можем записать

$$\Phi_{1}(r,\theta,\varphi) = -\ddot{\mathbf{B}}(\ddot{\varepsilon}_{1},\varepsilon_{2},\varepsilon_{3})\mathbf{E}_{0}\mathbf{r}, \qquad (12)$$

$$\Phi_{2}(r,\theta,\varphi) = -\ddot{\mathbf{C}}(\ddot{\varepsilon}_{1},\varepsilon_{2},\varepsilon_{3})\mathbf{E}_{0}\mathbf{r} + \ddot{\mathbf{D}}(\ddot{\varepsilon}_{1},\varepsilon_{2},\varepsilon_{3})\mathbf{E}_{0}\mathbf{r}/r^{3},$$
(13)

$$\Phi_{3}(r,\theta,\varphi) = -\vec{\mathbf{I}} \cdot \mathbf{E}_{0}\mathbf{r} + \vec{\mathbf{A}}(\vec{\varepsilon}_{1},\varepsilon_{2},\varepsilon_{3})\mathbf{E}_{0}\mathbf{r} / r^{3}.$$
(14)

Соотношения между неизвестными тензорами  $\ddot{\mathbf{A}}, \ddot{\mathbf{B}}, \ddot{\mathbf{C}}, \ddot{\mathbf{D}}$  находим из условий на граничных сферах  $S(R_1)$  и  $S(R_2)$ :

$$\Phi_1(R_1, \theta, \varphi) = \Phi_2(R_1, \theta, \varphi), \quad \Phi_2(R_2, \theta, \varphi) = \Phi_3(R_2, \theta, \varphi), \quad (15)$$

$$\vec{\varepsilon}_{1}(\omega) \left( \frac{\partial \Phi_{1}}{\partial r} \right)_{R_{1}} = \varepsilon_{2} \left( \frac{\partial \Phi_{2}}{\partial r} \right)_{R_{1}}, \quad \varepsilon_{2} \left( \frac{\partial \Phi_{2}}{\partial r} \right)_{R_{2}} = \varepsilon_{3} \left( \frac{\partial \Phi_{3}}{\partial r} \right)_{R_{2}}. \tag{16}$$

Тогда на основе (12)-(14) из (15) и (16) следует

$$\ddot{\mathbf{B}} = \ddot{\mathbf{C}} - \ddot{\mathbf{D}} / R_1^3, \quad -\ddot{\mathbf{C}} + \ddot{\mathbf{D}} / R_2^3 = -\ddot{\mathbf{I}} + \ddot{\mathbf{A}} / R_2^3, \tag{17}$$

$$\vec{\varepsilon}_{1}(\omega)\vec{\mathbf{B}} = \varepsilon_{2}\vec{\mathbf{C}} + \varepsilon_{2}\vec{\mathbf{D}} / R_{1}^{3}, \quad \varepsilon_{2}\vec{\mathbf{C}} + 2\varepsilon_{2}\vec{\mathbf{D}} / R_{2}^{3} = \varepsilon_{3}\vec{\mathbf{I}} + 2\varepsilon_{3}\vec{\mathbf{A}} / R_{2}^{3}.$$
 (18)

Последовательно исключая посредством линейных преобразований (17)-(18) тензоры  $\ddot{\mathbf{D}}, \ddot{\mathbf{C}}, \ddot{\mathbf{B}}$ , получаем для тензора  $\ddot{\mathbf{A}}$  дипольной поляризуемости слоистого композита с анизотропной сердцевиной следующее выражение

$$\ddot{\mathbf{A}}(\ddot{\varepsilon}_{1}(\omega \,|\, \mathbf{B}), \varepsilon_{2}, \varepsilon_{3}) = \left[ \left( \ddot{\varepsilon}_{1}(\omega \,|\, \mathbf{B}) + 2\varepsilon_{2} \right) \left( \varepsilon_{2} - \varepsilon_{3} \right) + \left( \ddot{\varepsilon}_{1}(\omega \,|\, \mathbf{B}) - \varepsilon_{2} \right) \left( 2\varepsilon_{2} + \varepsilon_{3} \right) \xi^{3} \right] \times \left[ \left( \ddot{\varepsilon}_{1}(\omega \,|\, \mathbf{B}) + 2\varepsilon_{2} \right) \left( \varepsilon_{2} + 2\varepsilon_{3} \right) + 2 \left( \ddot{\varepsilon}_{1}(\omega \,|\, \mathbf{B}) - \varepsilon_{2} \right) \left( \varepsilon_{2} - \varepsilon_{3} \right) \xi^{3} \right]^{-1} R_{2}^{3}, \tag{19}$$

где  $\xi = R_1 / R_2$  . При выключении магнитного поля все тензорные величины редуцируются к своим скалярным прототипам и (19) трансформируется к известному выражению [5] для поляризуемости изотропного композита.

Если проводящей в композите является оболочка, а кор — диэлектрический, действуя аналогичным образом для тензора  $\ddot{\mathbf{A}}\left(\varepsilon_1, \ddot{\varepsilon}_2(\omega \,|\, \mathbf{B}), \varepsilon_3\right)$  поляризуемости композита с замагниченной проводящей оболочкой получаем

$$\ddot{\mathbf{A}}(\varepsilon_{1}, \ddot{\varepsilon}_{2}(\omega | \mathbf{B}), \varepsilon_{3}) = \\
= \left[ \left( \varepsilon_{1} + 2\ddot{\varepsilon}_{2}(\omega | \mathbf{B}) \right) \left( \ddot{\varepsilon}_{2}(\omega | \mathbf{B}) - \varepsilon_{3} \right) + \left( \varepsilon_{1} - \ddot{\varepsilon}_{2}(\omega | \mathbf{B}) \right) \left( 2\ddot{\varepsilon}_{2}(\omega | \mathbf{B}) + \varepsilon_{3} \right) \xi^{3} \right] \times \\
\times \left[ \left( \varepsilon_{1} + 2\ddot{\varepsilon}_{2}(\omega | \mathbf{B}) \right) \left( \ddot{\varepsilon}_{2}(\omega | \mathbf{B}) + 2\varepsilon_{3} \right) + 2\left( \varepsilon_{1} - \ddot{\varepsilon}_{2}(\omega | \mathbf{B}) \right) \left( \ddot{\varepsilon}_{2}(\omega | \mathbf{B}) - \varepsilon_{3} \right) \xi^{3} \right]^{-1} R_{2}^{3}.$$
(20)

Наконец, в общем случае, когда проводящими в нанокомпозите являются и оболочка и кор, анализ показывает, что выражения (19) и (20) могут быть обобщены простой заменой диэлектрической проницаемости  $\varepsilon_j$  на ее тензорный аналог  $\ddot{\varepsilon}_j(\omega \,|\, {\bf B})$  лишь тогда, когда выполняется перестановочное соотношение:

$$\vec{\varepsilon}_{1}(\omega \mid \mathbf{B})\vec{\varepsilon}_{2}(\omega \mid \mathbf{B}) = \vec{\varepsilon}_{2}(\omega \mid \mathbf{B})\vec{\varepsilon}_{1}(\omega \mid \mathbf{B})$$
.

Дипольный момент  $\mathbf{P}_{C}(\boldsymbol{\omega} \,|\, \mathbf{B})$  шарового композита с замагниченной оболочкой определятся посредством тензора поляризуемости (20)

$$\mathbf{P}_{C}(\omega \,|\, \mathbf{B}) = \ddot{\mathbf{A}} \big( \varepsilon_{1}, \ddot{\varepsilon}_{2}(\omega \,|\, \mathbf{B}), \varepsilon_{3} \big) \mathbf{E}_{0}, \tag{21}$$

и тогда потенциал  $\Phi_3(r,\theta,\phi)$  и напряженность  $\mathbf{E}_3(r,\theta,\phi)$  поля вблизи композита определяются выражениями

$$\Phi_{3}(r,\theta,\varphi) = -\vec{\mathbf{I}} \cdot \mathbf{n}_{0} \mathbf{n}_{\theta\varphi} E_{0} r + \mathbf{P}_{C}(\omega \mid \mathbf{B}) \mathbf{n}_{\theta\varphi} / r^{2}.$$
(22)

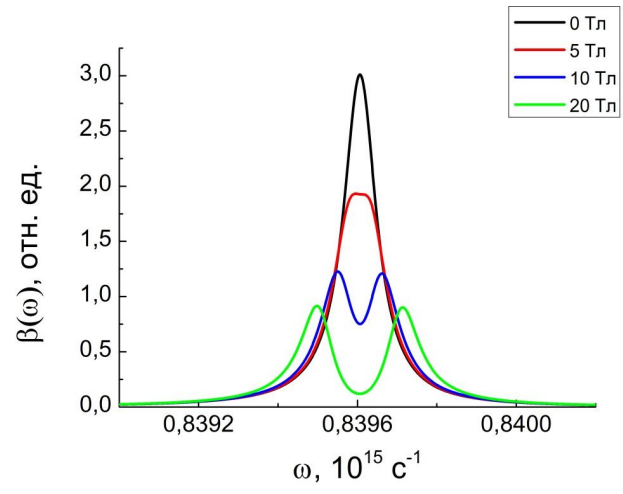
$$\mathbf{n}_0 = \mathbf{E}_0 / |\mathbf{E}_0|, \, \mathbf{n}_{\theta\varphi} = \mathbf{r} / |\mathbf{r}|,$$

$$\mathbf{E}_{3}(r,\theta,\varphi) = \mathbf{E}_{0} - \nabla \ddot{\mathbf{A}}(\varepsilon_{1}, \vec{\varepsilon}_{2}(\omega \mid \mathbf{B}), \varepsilon_{3}) \mathbf{E}_{0} \mathbf{r} / r^{3}.$$
 (23)

Как уже было отмечено, именно это поле представляет наибольший интерес для наноплазмоники и ближнепольной оптики [8-10].

На рис. 2а-2б представлены графически результаты расчетов зависимости спектральной функции  $\beta(\omega) = \left| \mathbf{n}_x \ddot{\mathbf{A}} \left( \varepsilon_1, \ddot{\varepsilon}_2(\omega \,|\, \mathbf{B}), \varepsilon_3 \right) \mathbf{n}_x \right|^2$  шарового нанокомпозита, пропорциональной сечению рассеяния им света, от индукции магнитного поля  $\mathbf{B} = B_z \mathbf{n}_z$ . В расчетах были использованы следующие значения параметров:  $\omega_p = \omega_p^0 \cdot 10^{15} \, \mathrm{c}^{-1} = 10^{16} \, \mathrm{c}^{-1}$  — для плазменной частоты металла оболочки;  $\gamma = 10^{12} \, \mathrm{c}^{-1}$  — для частоты электронных столкновений в металле;  $R_1 = 2$  и  $R_2 = 5$  нм — для внутреннего и внешнего радиуса оболочки;  $\varepsilon_1, \varepsilon_3 \sim 1$  . Было обнаружено, что в спектрах  $\beta(\omega)$  присутствуют две резонансных полосы, существенно разнесенные по частоте  $\Delta\omega \sim 3 \cdot 10^{15} \, \mathrm{c}^{-1}$ . Резонансные пики приходятся на частоты  $\omega_{res}^{(1)} = 5,432 \cdot 10^{15}$  и  $\omega_{res}^{(2)} = 8,396 \cdot 10^{15} \, \mathrm{c}^{-1}$ .

Оба плазмонных резонанса оказались магниточувствительными, и в сильных магнитных полях с индукцией выше 10 Тл наблюдалось расщепление обоих пиков на два спектральных компонента, симметрично расположенных относительно центральных резонансов (рис. 2а и 2б). Как и в случае однородной проводящей наносферы [2-3, 6-7] частотные интервалы  $\Delta\omega_{res}^{(1)}, \Delta\omega_{res}^{(2)} \sim B$  между расщепленными компонентами одного и того же резонанса (низко- или высокочастотного) оказались пропорциональными индукции внешнего магнитного поля B.



700 600 500 100 0,5428 0,5432 0,5436  $\omega$ , 10<sup>15</sup> c<sup>-1</sup>

**Рис. 2а.** Спектры высокочастотной полосы дипольной поляризуемости шарового нанокомпозита с проводящей оболочкой в магнитном поле различной индукции **B.** Частота  $\omega$  представлена в единицах  $\omega_p^0 = 10$ .

**Рис. 26.** Спектры низкочастотной полосы дипольной поляризуемости шарового нанокомпозита с проводящей оболочкой в магнитном поле различной индукции **B.** Частота  $\omega$  представлена в единицах  $\omega_p^0 = 10$ .

Для использованных в расчетах параметров низкочастотный плазмонный резонанс был на два порядка выше высокочастотного.

Если вблизи нанокомпозита (в его ближнем поле) находится молекула с электронным дипольным моментом перехода  $\mathbf{p}_{if} = \langle i \, | \, \hat{\mathbf{p}} \, | \, f \, \rangle$  между основным i и возбужденным f ее состояниями, скорость  $w(\omega)$  поглощения фотонов системой «молекула-нанокомпозит» будет определяться выражением [10]

$$w(\omega) = \frac{2\gamma}{(\omega - \omega_{if})^2 + \gamma^2} \frac{1}{\hbar^2} \left| \mathbf{p}_{if} \mathbf{E}_3(r, \theta, \varphi) \right|^2, \tag{24}$$

где  $\mathbf{E}_3(r,\theta,\varphi)$  — напряженность результирующего (локального) поля в точке расположения молекулы, определенная формулой (23);  $\omega_{if}$  — резонансная частота перехода  $i \to f$ ;  $\gamma$  — ширина Лоренцева контура полосы поглощения молекулы. Другие, резонансные по частоте  $\omega$  пики в спектре (24) будет

обусловлены плазмонными резонансами спектральной функции  $\beta(\omega) = \left| \mathbf{n}_x \ddot{\mathbf{A}} \left( \boldsymbol{\varepsilon}_1, \ddot{\boldsymbol{\varepsilon}}_2(\omega \,|\, \mathbf{B}), \boldsymbol{\varepsilon}_3 \right) \mathbf{n}_x \right|^2 \,, \,\, \text{отраженными на рис. 2а и 2б. В связи с расщеплением основных полос в сильных магнитных полях спектр поглощения объединенной системы «молекула-нанокомпозит» будет иметь «тонкую структуру».$ 

Работа выполнена при поддержке грантами РФФИ и правительства Оренбургской области (проект № 14-02-97000), а также Министерства образования и науки РФ (Госзадание № 233).

## Список литературы

- 1. Гинзбург В.Л., Рухадзе А.А. Волны в магнитоактивной плазме. М.: Наука. 1975. -256 с.
- 2. Kucherenko M.G., Pen'kov S.A. Magnetic field effect on intermolecular radiationless energy transfer near metallic nanoparticle // Book of Abstract. The 3-rd Internat. Symp.«MOLECULAR PHOTONICS» dedic. to acad. A.N. Terenin, 2012. Repino. St. Petersburg. RUSSIA P. 64.
- 3. Кучеренко М.Г., Пеньков С.А. Влияние внешнего магнитного поля на скорость безызлучательного донор-акцепторного переноса энергии вблизи диамагнитной металлической наночастицы // Матер. Всеросс. научно-метод. конфер. «Университет. комплекс как регион. центр образования, науки и культуры». Секция 8. Вопросы фундамент. и приклад. физики. С.934-942. Оренбург: ОГУ, 2012. 2927 с.
- 4. Ландау Л. Д., Лифшиц Е. М. Электродинамика сплошных сред. Теоретическая физика. Т.8. М.: Физматлит. 2010.-656 с.
- 5. *Климов В. В. Наноплазмоника*. *М.: Физматлит*. 2009. 480 с.
- 6. Кучеренко М.Г., Пеньков С.А., Налбандян В.М., Большаков Д.С. Влияние магнитного поля на межмолекулярный безызлучательный перенос энергии вблизи сфероидальной металлической наночастицы // Матер. Всеросс. научнометод. конфер. «Университетский комплекс как региональный центр образования, науки и культуры». Секция 8. Вопросы фундам. и прикл. физики. Оренбургский гос. ун-т. Оренбург: 2013. 3335 с.
- 7. Кучеренко М.Г., Кислов Д.А., Чмерева Т.М. Возможности улучшения характеристик сканирующего ближнепольного оптического микроскопа за счет плазмонно-резонансного увеличения скорости безызлучательного переноса энергии // Российские нанотехнологии. 2012. —Т. 7.- N21-2. —С. 71-77.
- 8. Кучеренко М.Г. Динамическая поляризуемость наношара в случае вырожденного электронного газа и ее роль в плазмонном механизме передачи энергии // Вестник ОГУ. 2012. № 1. С. 141-149.
- 9. Кучеренко М.Г. Влияние шаровых наноразмерных металлокомпозитов на скорость безызлучательной передачи энергии между молекулами // Матер. Всеросс. научно-метод. конфер. «Университет. комплекс как регион. центр образования, науки и культуры». Секция. 8. Вопросы фундам. и приклад. физики. Оренбург: ОГУ, 2012. С. 926-933.

10. Kucherenko M.G. Dynamics and relaxation of excited molecular states in local field of composited nanoparticles and external magnetic field // Russian-Japanese Conference «Chemical Physics of Molecules and Polyfunctional Materials»: Proceedings. OSU. Orenburg. IPK «Universitet». 2014. – P.13-15.